

九州大学工学部 正員 ○ 山内 豊聰
同 森 延

1. まえがき

シラスは土質工学的分類では、たんに砂でしかないが、粒子の持異性に起因して、静的のみでなく動的にも、かなり普通砂と異なったせん断特性を示すこととすでに指摘し、両挙動の関係についてもある程度の説明を行なった。¹⁾ そのうちとくに問題になるのは、飽和シラス（固結しないもの）が静的作用のものとではかなりのせん断抵抗を示すが、動的作用のものとでは著しく崩壊しやすいことであるが、このことは標準貫入試験値の評価や地震時の地盤支持力、とくにその流動化（液状化）、あるいは地盤改良などの実際問題と関連して、早急に究明されなければならぬことである。

N 値

盤改良などの実際問題と関連して、早急に究明されなければならないことである。しかしこれまでの考察は、すべて“きれいなシラス”についての実験結果に基づいたものであった。今回は実際の沖積シラスとして、鹿児島市街地において、特別の方法で採取した乱さないシラス試料（N K C サンドサンプラーによる）によって、ある程度地盤中の応力状態をシミュレートした状態で動的三軸繰返し載荷を行ない、実際地盤の流動化を検討するとともに、きれいなシラスについても実験を行ない、両者の相違について考察した。

2. 地震時に危険な砂地盤の条件

1964年の新潟地震災害の調査は各方面で詳しく行なわれ、地震時に流動化しやすい危険な砂地盤の条件も二、三提案されている。そのうちも

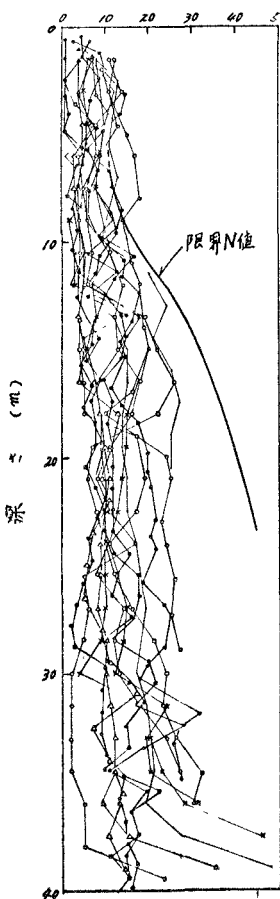


図-1 沖積シラス地盤
N 値

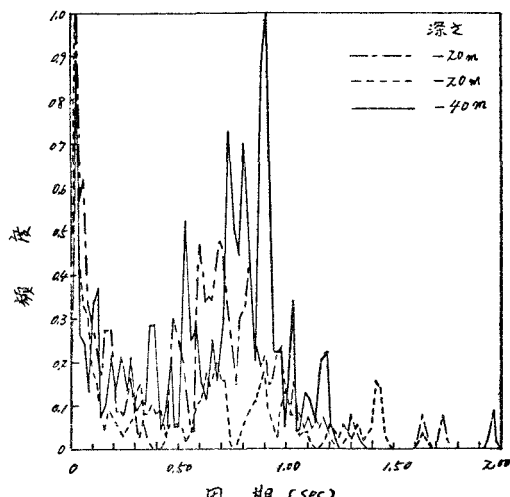


図-2 ある鹿児島市街地における常時微動
(建設省建築研究所の測定)

とともに多くの要因を備えているものは大崎らによるものであり、沖積シラス地盤をこの条件に照すると、図-1, 2, 3のような調査結果を参考にして表-1のように要約される。このうち2.の粒度条件だけは、明らかに危険な条件から外れる。しかし流動化の条件として、二、三の研究者は粒

度条件を取りあげて
ていることを考
ると、このことも
決して無視できな
いものである。

3. 亂さない鹿児島 島市街地の沖積シラスの実験

現地の乱さない

沖積シラス試料に対する試験は、試料の採取が困難であることから、おそらくこれまで例のないものであろう。試料採取位置の深さ方向についての、プレシオメーター試験⁵⁾による下限降伏値 σ_3 は図-4に示すとおりである。

それらは上部、中央部、下部の3部分に分けられると

判断し、各部分ごとの平均値を求め、これを三軸試験における除荷時拘束圧(側圧)に株ることにした。

また各部分ごとの平均的一軸圧縮強度 σ_3 の値を求め、

軸方向の繰返し荷重の大きさをこの値に対し適當な比

になるよつにして選んだ。

しかし繰返し荷重の一周期

はすべて4秒とし、載荷・除荷時間比を3:1とした。

図-5(a)は時間軸に対する

荷重のパターンを示したもの

であるが、軸圧を加える

さいに側圧を増加していな

い。この図には間げき水压

uの変化の状態も示してあ

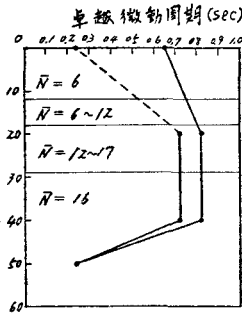


図-3 卓越微動周期
(図-2)による、同上)

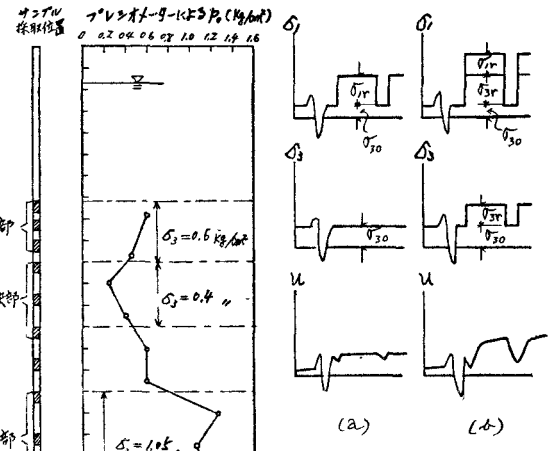


図-4 乱さない試料採取位置とプレシオメーターによる下限降伏値による分け方

図-5 動的繰返し載荷試験の荷重条件と間げき水圧の変化

表-1 地震時に危険な砂地盤の条件(文献4)を取りまとめたもの)

大崎による条件 ³⁾	冲積シラスの場合
1. 地表面から深さ15mないし20mの範囲にわたってほぼすべて砂よりなる。	然り。
2. 粒径が均一な中粒砂。	然らず。
3. 地下水位下にある。	然り。
4. 滝積年代が新しい。	然り。
5. 繰り方がゆるく、 N 値が限界 N 値より小さい部分が、一定限度以上の厚さにわたって存在する。	然り(図-1)。
6. 寛時微動の周期が長周期のものも含めた広範囲に分布する。	然り(図-2,3)。

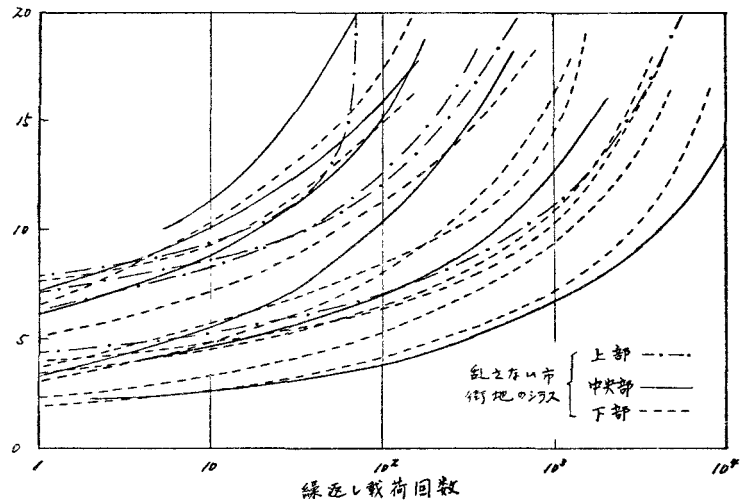


図-6 乱さない沖積シラスについてのひずみの変化状態

に対して得られた繰返し載荷回数とひすみの関係(図-6)からわかるように、流動化のさいに見られる急激なひすみ増加は生じていない。間けき水圧の変化(図-7)もそれを示しており、鹿児島市街地の沖積シラスがからならずしても大地震のさいに流動しないことを示すものである。

4. きれいなシラスの実験

締固めたきれいなシラスの試料の場合は、相対密度100%の条件でも流動化を生ずることを筆者らはまだに示したが、密度だけではなく、荷重条件による挙動の相違も明らかにする必要がある。そこで除荷時側圧 $\sigma_{30} = 0.6 \text{ kg/cm}^2$ の場合(沖積シラスでは上部に相当)について、 $\sigma_{1r} = 0, 0.4, 0.6, 1.0 \text{ kg/cm}^2$ の4通りの繰返し軸荷重の条件で繰

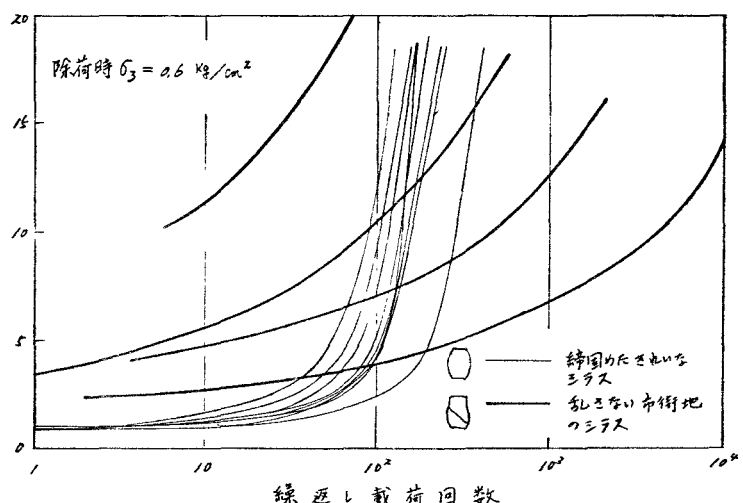


図-7 シラス試料の相違によるひすみの変化状態の相違
(除荷時側圧: 0.6 kg/cm^2)

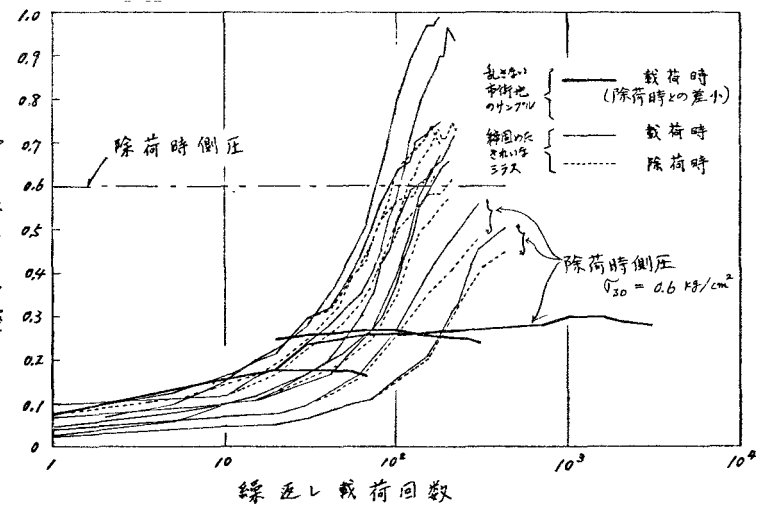


図-8 シラス試料の相違による間けき水圧の変化の相違

返し載荷試験を行なった結果、ひすみおよび間けき水圧についてはそれそれ図-7および図-8に示すとおりであり、いつもも明瞭な流動化を示した。また図-7に記入したスケッチからわかるように、供試体の外観も典型的な流動化破壊を示している。なお図-8において間けき水圧が除荷時側圧以上に上昇しているのは、装置の不備によるものと考える。

5. シラス試料の相違による動的挙動の相違

上述のように、シラス試料の相違によって流動化は起きる場合と起きやすい場合とがあることがわかった。この挙動の相違はこれまで筆者らが指摘してきたように、シラス粒子のミクロ的な性状(形状と表面の粗滑)の相違に加えて、市街地沖積シラスではシルト分ないし粘土分を含有する結果であるように判断される。 σ_{1r}/σ_{30} の値に対する15%のひすみを生じた時の、繰返し載荷回数の関係および

そのひずみにおける間げき水圧の関係を取りまとめるに、図-9および図-10が得られる。この関係から、“きれいなシラス”は、動的繰返し荷重のもとではせん流動化する傾向から免れ得ないものであることがわかる。

6. 結び

鹿児島市街地のある沖積シラス地盤から採取した乱さない試料に対して行なった動的三軸繰返し載荷実験では延性破壊を生じ、流動化は起きなかつた。しかし“きれいなシラス”試料では、種々の荷重条件のもとでこれまで指摘してきたように流動化しやすいことが明らかにされた。この相違は粒子のミクロ的な相違とシルトないし粘土粒子の有無に起因していると判断される。しかし、沖積シラス地盤にもえびの地区で噴砂したようなきれいなシラスに属するシラス層を含むこともあり、重要構造物の基礎の設計では個々の調査と判断が必要である。鹿児島市街地でも場所による違いがあるようである。きれいなシラスから成ると判断される典型的な地盤としては、水搬送工法による埋立地などを挙げることができよう。またこのような地盤の改良は、動的方法では効果を期待しがたく、静的な手段を考える必要がある。このようなことから、沖積シラス地盤でも、静的支持力と動的支持力とが一致する場合と、著しく食い違う場合とがあり、したがってN値の評価の仕方もそれ相違する。しかし、地震時の地盤中の三軸的応力条件は現段階ではまだ明らかでなく、この実験でも十分にシミュレートされているとは考えていよい。また筆者らが使用している装置では応力条件に限界があるのはやむを得ないことである。

この実験は鹿児島県住宅供給公社の要請による検討を含んでおり、またそのさい基礎地盤コンサルタント(株)の協力を得ていることを付記し、深く感謝の意を表すものである。

引用文献

- 1) 山内、豊田、落合、村田：繰返し荷重を受けるシラスのような砂の間げき水圧について、第22回土木学会年次学術講演会講演概要、Ⅲ、昭. 42. 5.
- 2) 山内：砂の静的および動的性質の関係について、第24回同上講演概要、昭. 44. 10.
- 3) 大崎：地震時に危険な砂地盤について、建築技術、No. 169、昭. 41. 6.
- 4) 建設省建築研究所：鹿児島県住宅供給公社ビル新築敷地における常時微動測定、昭. 44. 9.
- 5) 同上：同上地盤調査報告書、昭. 44. 10.
- 6) 岡本：地中における地震動、土木学会誌、Vol. 54, No. 12, 昭. 44. 12. など。

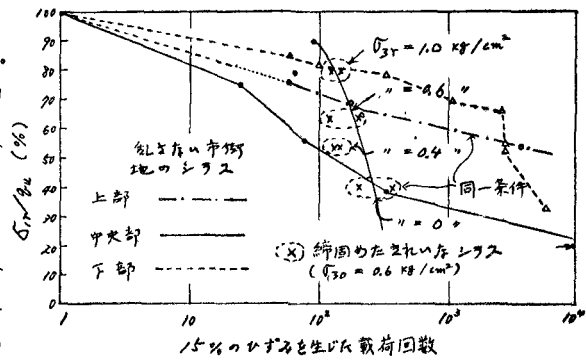


図-9 試料の相違による変形の相違

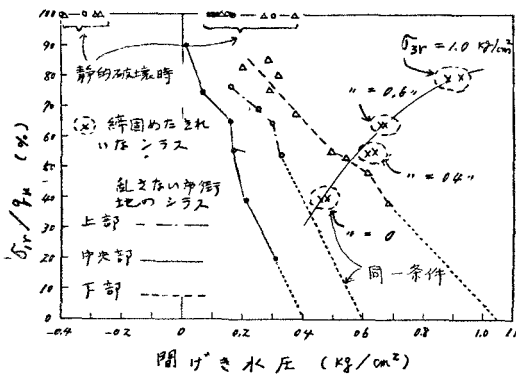


図-10 試料の相違による間げき水圧の相違